

ТРЕХМЕРНЫЕ ТЕЧЕНИЯ ЖИДКИХ СРЕД В ПРОНИЦАЕМЫХ КАНАЛАХ

С.А. Светлов, Л.В. Китаева

Исследованы трёхмерные течения жидкости в проницаемых каналах мембранных установок прямоугольного и квадратного поперечного сечений на основе уравнений гидродинамики. В случае предельно низких значений характерного числа Рейнольдса сформулирована автомодельная задача и получена определяющая система дифференциальных уравнений в частных производных. Найдена зависимость для распределения давления внутри канала. С целью анализа кинематической структуры течения рассмотрена его часть в окрестности угла для канала квадратного поперечного сечения.

Математическое описание движения жидкой среды общими дифференциальными уравнениями, учитывающими все физические свойства, присущие этой среде, оказывается сложной задачей, поэтому в гидродинамике широко используют упрощенные модели среды и отдельных явлений [1].

Дифференциальное уравнение движения совместно с начальными и граничными условиями полностью определяет задачу, т.е. зная геометрическую форму поверхности, начальные и граничные условия, можно найти функцию распределения скорости в сечении канала.

Основные методы решения дифференциального уравнения движения изложены в работах [2-5]. Одной из основных в гидродинамике является модель несжимаемой идеальной жидкости.

Игнорирование свойств вязкости и сжимаемости значительно упрощает математическое описание движения жидкости и позволяет получить многие решения в конечном замкнутом виде. Более полно свойства реальной жидкости учитываются в модели вязкой несжимаемой жидкости, которая представляет собой среду, обладающую текучестью и вязкостью, но абсолютно несжимаемую.

Теория вязкой несжимаемой жидкости лишь в ограниченном числе случаев с простейшими граничными условиями позволяет получить точные решения полных уравнений движения, поэтому важной задачей является решение приближенных уравнений.

Рассмотрим течение жидкости в каналах, образующая которых является прямой линией, а поперечное сечение представляет собой прямоугольник (рис. 1). Течения образованы подачей жидкости с постоянной скоростью через стенки канала. Без ущерба общности будем считать плотность жидкости $\rho=1$.

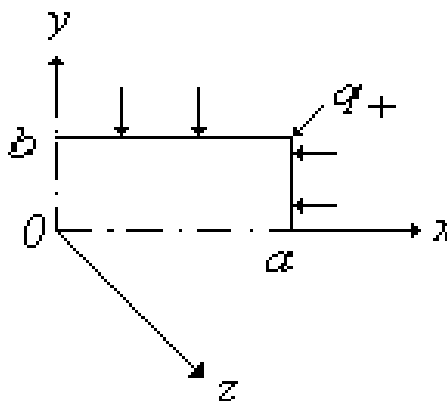


Рис. 1. Схема поперечного сечения канала

Исследуемое движение описывается системой уравнений в декартовой системе координат, которая в безразмерных переменных имеет вид

$$\begin{cases} \frac{\partial u}{\partial x} + \frac{\partial v}{\partial y} + \frac{\partial w}{\partial z} = 0, \\ u \frac{\partial u}{\partial x} + v \frac{\partial u}{\partial y} + w \frac{\partial u}{\partial z} = -\frac{\partial p}{\partial x} + Re^{-1} \Delta u, \\ u \frac{\partial v}{\partial x} + v \frac{\partial v}{\partial y} + w \frac{\partial v}{\partial z} = -\frac{\partial p}{\partial y} + Re^{-1} \Delta v, \\ u \frac{\partial w}{\partial x} + v \frac{\partial w}{\partial y} + w \frac{\partial w}{\partial z} = -\frac{\partial p}{\partial z} + Re^{-1} \Delta w. \end{cases}$$

где u , v и w – компоненты вектора скорости \vec{V} вдоль осей x , y и z , соответственно;

p – давление жидкости; Re – число Рейнольдса;

$Re = \rho q_c L / \mu$; q_c – средняя скорость жидкости через проницаемую поверхность;

μ – коэффициент динамической вязкости жидкости;

Δ – оператор Лапласа.

Граничные условия для поставленной задачи следующие: полагаем, что в начале канала при $z = 0$: $w = 0$, на оси симметрии ($x = 0, y = 0$): $u = v = 0 = \frac{\partial w}{\partial x} = \frac{\partial w}{\partial y}$,

на проницаемых стенках канала: $q_+ = -1$.

Система уравнений и граничные условия приведены к безразмерному виду, нормируя координаты на характерный размер L , а скорость и давление по соотношениям

$$v = \frac{\bar{V}}{q_c}, \quad p = \frac{P}{\rho q_c^2},$$

где P – давление на входе в дренажный канал.

Известно [6-7], что решение задачи в размерных переменных имеет вид:

$$\begin{aligned} u &= u(x, y), \quad v = v(x, y), \\ w &= zW(x, y), \\ p &= p_0 - \frac{1}{2} \rho w_{max}^2 - F(x, y), \\ w_{max} &= zW(0, 0), \end{aligned} \quad (1)$$

где p_0 – значение давления в начале координат, а функция $F(x, y)$ подлежит определению.

Кроме того, полагаем, что

$$w = q_+ \frac{\pi \Pi_0}{2 F_0} z \cdot \cos \frac{\pi F}{2 F_0},$$

где q_+ – нормальная к стенке канала компонента вектора скорости (скорость подачи жидкости);

Π_0, F_0 – периметр и площадь поперечного сечения канала.

Причём, для прямоугольного канала шириной a и высотой b получаем следующие соотношения для скоростей W и w_{max} :

$$w = q_+ \frac{\pi a + b}{2 ab} z \cdot \cos \frac{\pi F}{2 F_0},$$

$$w_{max} = q_+ \frac{\pi a + b}{2 ab} z.$$

Итак, компоненты вектора скорости имеют вид:

$$u = u(x, y), \quad v = v(x, y),$$

$$w = \frac{\pi a + b}{2 ab} z \cdot \cos \left(\frac{\pi F}{2 F_0} \right).$$

Если в качестве L можно выбрать отношение площади канала к его периметру, то есть

$$L = \frac{ab}{a + b},$$

то в безразмерной форме

$$w = \frac{\pi}{2} z \cdot \cos \frac{\pi F}{2 F_0}.$$

Все координаты в системе уравнений обезразмерены на характерный размер канала, что неудобно, так как L – масштаб лишь для координаты Z . В качестве масштабов для координат X и Y можно выбрать ширину a и высоту b канала соответственно. Тогда $x \in [0; 1], y \in [0; 1]$ и получим

$$\begin{cases} \frac{L}{a} \frac{\partial u}{\partial x} + \frac{L}{b} \frac{\partial v}{\partial y} + \frac{\partial w}{\partial z} = 0, \\ \frac{L}{a} u \frac{\partial u}{\partial x} + \frac{L}{b} v \frac{\partial u}{\partial y} + w \frac{\partial u}{\partial z} = -\frac{L}{a} \frac{\partial p}{\partial x} + Re^{-1} \Delta u, \\ \frac{L}{a} u \frac{\partial v}{\partial x} + \frac{L}{b} v \frac{\partial v}{\partial y} + w \frac{\partial v}{\partial z} = -\frac{L}{b} \frac{\partial p}{\partial y} + Re^{-1} \Delta v, \\ \frac{L}{a} u \frac{\partial w}{\partial x} + \frac{L}{b} v \frac{\partial w}{\partial y} + w \frac{\partial w}{\partial z} = -\frac{\partial p}{\partial z} + Re^{-1} \Delta w, \end{cases}$$

или, введя обозначения $\alpha = \frac{L}{a}, \beta = \frac{L}{b}$, вме-

сто данной системы получим

ТРЕХМЕРНЫЕ ТЕЧЕНИЯ ЖИДКИХ СРЕД В ПРОНИЦАЕМЫХ КАНАЛАХ

$$\left\{ \begin{aligned} \alpha \frac{\partial u}{\partial x} + \beta \frac{\partial v}{\partial y} + \frac{\partial w}{\partial z} &= 0, \\ \alpha u \frac{\partial u}{\partial x} + \beta v \frac{\partial u}{\partial y} + w \frac{\partial u}{\partial z} &= -\alpha \frac{\partial p}{\partial x} + Re^{-1} \Delta u, \\ \alpha u \frac{\partial v}{\partial x} + \beta v \frac{\partial v}{\partial y} + w \frac{\partial v}{\partial z} &= -\beta \frac{\partial p}{\partial y} + Re^{-1} \Delta v, \\ \alpha u \frac{\partial w}{\partial x} + \beta v \frac{\partial w}{\partial y} + w \frac{\partial w}{\partial z} &= -\frac{\partial p}{\partial z} + Re^{-1} \Delta w, \end{aligned} \right.$$

где $\Delta = \alpha^2 \frac{\partial^2}{\partial x^2} + \beta^2 \frac{\partial^2}{\partial y^2}$.

С учетом соотношений (1) последняя система примет вид:

$$\left\{ \begin{aligned} \alpha \frac{\partial u}{\partial x} + \beta \frac{\partial v}{\partial y} + W &= 0, \\ \alpha u \frac{\partial u}{\partial x} + \beta v \frac{\partial u}{\partial y} &= \alpha \frac{\partial F}{\partial x} + Re^{-1} \Delta u, \\ \alpha u \frac{\partial v}{\partial x} + \beta v \frac{\partial v}{\partial y} &= \beta \frac{\partial F}{\partial y} + Re^{-1} \Delta v, \\ \alpha u \frac{\partial W}{\partial x} + \beta v \frac{\partial W}{\partial y} + W^2 &= W_{max}^2 + Re^{-1} \Delta w. \end{aligned} \right.$$

где $W_{max} = W(0,0)$. (2)

Проведем анализ зависимости давления. Решение системы (2) зависит от величины числа Рейнольдса. Рассмотрим два предельных случая: $Re \rightarrow \infty$ и $Re \rightarrow 0$.

Для случая "исчезающей вязкости" вернемся к соотношениям (1). Найдем функцию $F(x, y)$ при $Re \rightarrow \infty$. Для этого рассмотрим второе и третье уравнения системы (2):

$$\left\{ \begin{aligned} \alpha u \frac{\partial u}{\partial x} + \beta v \frac{\partial u}{\partial y} &= \alpha \frac{\partial F}{\partial x}, \\ \alpha u \frac{\partial v}{\partial x} + \beta v \frac{\partial v}{\partial y} &= \beta \frac{\partial F}{\partial y}. \end{aligned} \right.$$

Умножим первое уравнение этой системы на u , а второе на v :

$$\left\{ \begin{aligned} \alpha u \frac{\partial}{\partial x} \left(\frac{u^2}{2} \right) + \beta v \frac{\partial}{\partial y} \left(\frac{u^2}{2} \right) &= \alpha u \frac{\partial F}{\partial x}, \\ \alpha u \frac{\partial}{\partial x} \left(\frac{v^2}{2} \right) + \beta v \frac{\partial}{\partial y} \left(\frac{v^2}{2} \right) &= \beta v \frac{\partial F}{\partial y}. \end{aligned} \right.$$

Далее, сложив полученные уравнения, будем иметь

$$F = \frac{1}{2}(u^2 + v^2).$$

Заметим, что эта формула справедлива для любых α и β , в том числе для $\alpha = \beta$, то есть для канала с квадратным поперечным сечением.

Рассмотрим второй предельный случай решения системы (2) при $Re \rightarrow 0$ для квадратного канала. Заметим, что для квадратного канала $a = b$, $L = a/2$, тогда $\alpha = \beta = 1/2$ и система (2) будет иметь вид:

$$\left\{ \begin{aligned} \frac{1}{2} \frac{\partial u}{\partial x} + \frac{1}{2} \frac{\partial v}{\partial y} + W &= 0, \\ u \frac{\partial u}{\partial x} + v \frac{\partial u}{\partial y} = \frac{\partial F}{\partial x} + \frac{1}{2} Re^{-1} \Delta u, \\ u \frac{\partial v}{\partial x} + v \frac{\partial v}{\partial y} = \frac{\partial F}{\partial y} + \frac{1}{2} Re^{-1} \Delta v, \\ \frac{1}{2} u \frac{\partial W}{\partial x} + \frac{1}{2} v \frac{\partial W}{\partial y} + W^2 &= W_{max}^2 + \frac{1}{4} Re^{-1} \Delta w \end{aligned} \right.$$

и при $Re \rightarrow 0$

$$\left\{ \begin{aligned} \frac{1}{2} \frac{\partial u}{\partial x} + \frac{1}{2} \frac{\partial v}{\partial y} + W &= 0, \\ -Re \frac{\partial F}{\partial x} = \frac{1}{2} \left(\frac{\partial^2 u}{\partial x^2} + \frac{\partial^2 u}{\partial y^2} \right), \\ -Re \frac{\partial F}{\partial y} = \frac{1}{2} \left(\frac{\partial^2 v}{\partial x^2} + \frac{\partial^2 v}{\partial y^2} \right), \\ Re \left(\frac{1}{2} u \frac{\partial W}{\partial x} + \frac{1}{2} v \frac{\partial W}{\partial y} + W^2 - W_{max}^2 \right) &= \frac{1}{4} \left(\frac{\partial^2 W}{\partial x^2} + \frac{\partial^2 W}{\partial y^2} \right). \end{aligned} \right.$$

Граничные условия следующие:

$$\begin{aligned} u(0, y) &= 0, \quad u(1, y) = -1, \\ v(x, 0) &= 0, \quad v(x, 1) = -1. \end{aligned} \quad (3)$$

Пусть $W_{max} = C$. Так как число Рейнольдса $Re \rightarrow 0$, то последнее уравнение системы (3) равносильно системе:

$$\begin{cases} \frac{\partial^2 W}{\partial x^2} + \frac{\partial^2 W}{\partial y^2} = 0, \\ C^2 = \frac{1}{2} \left(u \frac{\partial W}{\partial x} + v \frac{\partial W}{\partial y} \right) + W^2. \end{cases} \quad (4)$$

В силу симметрии течения, используя метод разделения переменных, находим решение в виде

$$W = c_0^2 (1-x) \cdot (1-y).$$

Теперь рассмотрим первое уравнение системы (3)

$$\frac{1}{2} \frac{\partial u}{\partial x} + \frac{1}{2} \frac{\partial v}{\partial y} + W = 0.$$

Функции $u(x, y)$ и $v(x, y)$ – симметричные, вид их находим, применяя метод разделения переменных

$$\begin{aligned} u(x, y) &= \alpha \cdot c_0^2 x(1-x/2) \cdot (1-y), \\ v(x, y) &= \beta \cdot c_0^2 y(1-y/2) \cdot (1-x). \end{aligned}$$

Из граничных условий на стенке канала $u(1, y) = -1$. С другой стороны,

$$u(1, y) = \frac{1}{2} \alpha \cdot c_0^2 (1-y),$$

тогда

$$\int_0^1 u(1, y) dy = \frac{1}{2} \alpha \cdot c_0^2 \left(1 - \frac{1}{2} \right) = \frac{1}{4} \alpha \cdot c_0^2 = -1$$

откуда следует, что

$$\alpha \cdot c_0^2 = -4. \quad (5)$$

Аналогично рассуждая, можно показать, что

$$\beta \cdot c_0^2 = -4. \quad (6)$$

Подставляя выражения (5) и (6) в уравнения скорости, получим

$$\begin{aligned} u(x, y) &= -4x(1-x/2) \cdot (1-y), \\ v(x, y) &= -4y(1-y/2) \cdot (1-x). \end{aligned}$$

Найдем коэффициенты α и β . Для этого продифференцируем функцию $u(x, y)$ по x , а функцию $v(x, y)$ по y , применяя метод группировки, получим:

$$(-4 + c_0^2)(1-x)(1-y) = 0.$$

Отсюда следует, что

$$-4 + c_0^2 = 0$$

или

$$c_0 = 2.$$

Из формул (5) и (6) следует, что

$$\alpha = \beta = -1.$$

Далее, зная функции $u(x, y)$ и $v(x, y)$, найдем зависимость для распределения давления внутри канала при $Re \rightarrow 0$.

Так как в случае, когда число Рейнольдса $Re \rightarrow \infty$, функция $F_0(x, y)$ должна быть равна нулю, то для нее можно предложить зависимость

$$F_0(x, y) = \frac{1}{Re} F(x, y).$$

С учетом этого выражения система (4) примет вид

$$\begin{cases} \frac{1}{2} \frac{\partial u}{\partial x} + \frac{1}{2} \frac{\partial v}{\partial y} + W = 0, \\ -\frac{\partial F}{\partial x} = \frac{1}{2} \left(\frac{\partial^2 u}{\partial x^2} + \frac{\partial^2 u}{\partial y^2} \right), \\ -\frac{\partial F}{\partial y} = \frac{1}{2} \left(\frac{\partial^2 v}{\partial x^2} + \frac{\partial^2 v}{\partial y^2} \right), \\ \text{Re} \left(\frac{1}{2} u \frac{\partial W}{\partial x} + \frac{1}{2} v \frac{\partial W}{\partial y} + W^2 - W_{\max}^2 \right) = \frac{1}{4} \left(\frac{\partial^2 W}{\partial x^2} + \frac{\partial^2 W}{\partial y^2} \right). \end{cases}$$

Найдем вторые производные функции $u(x, y)$ по x и по y и подставим их во второе уравнение данной системы

$$\frac{\partial F}{\partial x} = -2(1-y),$$

откуда следует, что

ТРЕХМЕРНЫЕ ТЕЧЕНИЯ ЖИДКИХ СРЕД В ПРОНИЦАЕМЫХ КАНАЛАХ

$$F = f(y) - 2 \int_0^x (1-y) dx.$$

Аналогично из третьего уравнения системы (3), зная функцию $v(x, y)$, можно получить

$$\frac{\partial F}{\partial y} = -2(1-x)$$

или, проинтегрировав,

$$F = g(x) - 2 \int_0^y (1-x) dy.$$

Откуда следует, что

$$F = 2(1-x)(1-y).$$

Теперь найдем неизвестную $C(x, y)$. Для этого вернемся ко второму уравнению системы (4)

$$C^2 = \frac{1}{2} \left(u \frac{\partial W}{\partial x} + v \frac{\partial W}{\partial y} \right) + W^2.$$

С учетом выражений для скорости, получим, что

$$C^2(x, y) = 4 \left(2(1-x)^2(1-y)^2 + (1-x)^2 + (1-y)^2 \right).$$

Итак, найдено автомодельное решение задачи в случае, когда число Рейнольдса $Re \rightarrow 0$.

Теперь для функции $F(x, y)$ можно предложить зависимость

$$F(x, y) = F_0(x, y) + F_\infty(x, y), \quad \text{причем}$$

$$F_0(x, y) = 0 \quad \text{при} \quad Re \rightarrow \infty \quad \text{и}$$

$$F_\infty(x, y) = 0 \quad \text{при} \quad Re \rightarrow 0. \quad \text{Показано, что}$$

$$F = \frac{1}{2} (u^2 + v^2).$$

С целью анализа кинематической структуры течения рассмотрим его часть в окрестности угла A для канала квадратного поперечного сечения, представленного на рисунке 2. Для этого введем новую систему координат, расположив угол в ее начале. Предпола-

гается, что в окрестности угла есть бесконечно малое скругление.

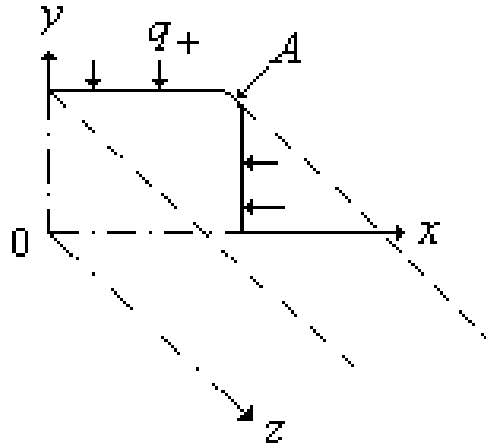


Рис. 2. Схема канала

При $Re \rightarrow \infty$ в окрестности угла компоненты вектора скорости $u \sim v \sim 1$, $w \sim 0$. Тогда последнее уравнение системы (4) примет вид

$$\frac{1}{2} \left(\frac{\partial W}{\partial x} + \frac{\partial W}{\partial y} \right) \approx C^2.$$

В силу симметрии течения относительно диагонали, используя метод разделения переменных, находим решение уравнения в виде

$$W = X \cdot Y = \alpha^2 \cos \left(k \frac{\pi}{2} x \right) \cos \left(k \frac{\pi}{2} y \right),$$

где k – коэффициент.

Но известно, что при $Re \rightarrow \infty$

$$W = Cf(x, y),$$

где $C = \frac{\pi}{2} \cdot \frac{P_0}{F_0}$ определяется геометриче-

скими размерами канала и для канала с сечением в форме квадрата получим $C = \pi$.

Тогда из уравнений следует, что

$$\alpha = \sqrt{C} = \sqrt{\pi}$$

и зависимость скорости

$$W = \pi \cos \left(\frac{\pi}{2} x \right) \cos \left(\frac{\pi}{2} y \right). \quad (7)$$

Данная зависимость позволяет судить о трансформации трубок тока в окрестности угла.

Пусть $W \in [0, C)$ – параметр, тогда из (7) имеем

$$y = (2/\pi) \arccos(W / (\pi \cdot \cos(\pi x/2))).$$

Рассмотрев уравнения изолиний $W = const$ из указанной области определения, получим следы трубок тока в окрестности угла на поверхности $z = const$, показанные на рисунке 3.

При $Re \rightarrow 0$ четвертое уравнение системы (3) примет вид:

$$\Delta w = 0$$

или

$$W''_{xx} + W''_{yy} = 0.$$

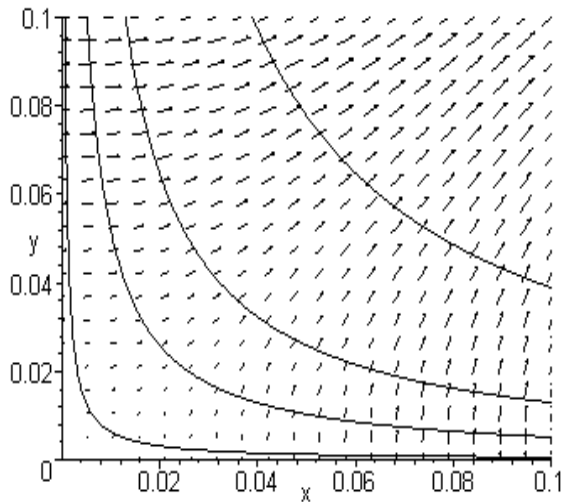


Рис. 3. Линии тока при $Re \rightarrow \infty$

В силу симметрии течения относительно диагонали AO будем искать решение в виде

$$X''Y + XY'' = 0$$

или

$$\frac{X''}{X} = -\frac{Y''}{Y} = \lambda^2, \quad (8)$$

где $\lambda^2 = const$.

Граничные условия остаются неизменными.

Выражение (8) равносильно системе уравнений:

$$\begin{cases} X'' - \lambda^2 X = 0, \\ Y'' + \lambda^2 Y = 0. \end{cases}$$

Но в силу симметрии решения это возможно только при $\lambda = 0$. Тогда из последней системы следует, что

$$X'' = 0.$$

Проинтегрировав это выражение, получим

$$X = c_1 x + c_2. \quad (9)$$

Но из граничного условия $X(0) = 0$ следует, что $c_2 = 0$, тогда (9) примет вид

$$X = c_1 x.$$

В силу симметрии решения

$$Y = c_1 y.$$

Пусть $c_1 = \alpha_0$, тогда

$$W = X \cdot Y = \alpha_0^2 xy \text{ и } \alpha_0 \sim \sqrt{C_0},$$

где $C_0 = C(Re)$ при $Re \rightarrow 0$.

Тогда уравнения изолиний $W = const$ имеют вид

$$y = \frac{W}{\alpha_0^2 x}.$$

Если предположить, что $C_0 \sim C$ и $\alpha_0 \sim \alpha$, то и уравнения изолиний

$$y = \frac{W}{\alpha_0^2 x} \sim \frac{W}{\alpha^2 x}.$$

Картина изолиний изображена на рисунке 4.

Как следует из зависимостей на рисунках 3 и 4, картина изолиний $W = const$ двух рассмотренных режимов течения качественно похожи. Кроме того, если вблизи начала координат форма изолиний близка к очертаниям угла, то по мере удаления контуры $W = const$ более напоминают дуги окружностей. Поэтому можно предполагать, что вблизи центра канала течение стремится к осесимметричному.

ТРЕХМЕРНЫЕ ТЕЧЕНИЯ ЖИДКИХ СРЕД В ПРОНИЦАЕМЫХ КАНАЛАХ

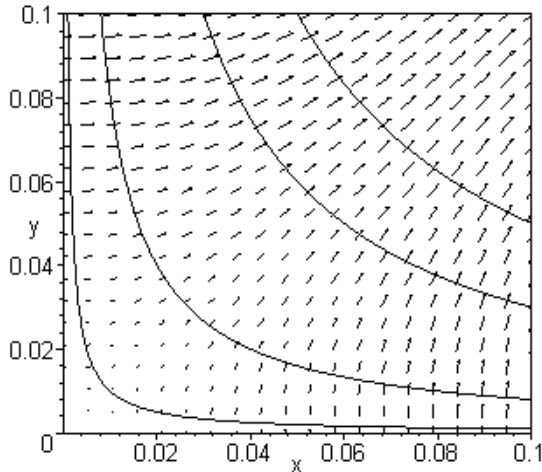


Рис. 4. Линии тока при $Re \rightarrow 0$

Согласно результатам работы [8] и полагая $Re_0 = 0$ «нулевым приближением», можно показать, что в этом случае течение (рис. 5) будет характеризоваться уравнениями

$$\begin{cases} \frac{\partial u_0}{\partial x} + \frac{\partial v_0}{\partial y} + \frac{\partial w_0}{\partial z} = 0 \\ \frac{\partial p_0}{\partial x} = 0, \quad \frac{\partial p_0}{\partial y} = 0 \\ \frac{\partial p_0}{\partial z} = \mu \Delta w_0 \\ \Delta \omega_0 = 0, \end{cases} \quad (10)$$

где $\Delta = \frac{\partial^2}{\partial x^2} + \frac{\partial^2}{\partial y^2}$.

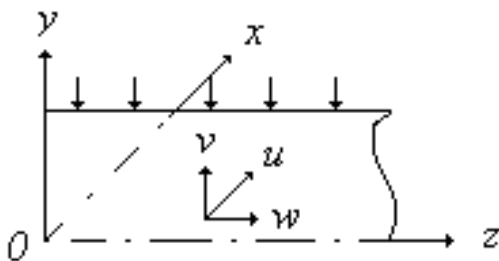


Рис. 5. Схема области течения

Граничными условиями на поверхности канала будут следующие:
 условие прилипания $w_0 = v_{\sigma_0} = 0$,
 скорость проницаемости $v_{n_0} = V(z, \sigma)$,

где σ – криволинейная координата, отсчитываемая вдоль контура в начальном сечении,

$$p_0 = p_n, \quad \int_S w_0 dS = SU,$$

где p_n – давление, при котором жидкость поступает в канал;

S – площадь начального сечения;

U – скорость жидкости через начальное сечение.

Если удастся получить решение задачи (10), то можно организовать процесс уточнения этого решения. Тогда для вычисления поправок k -го порядка получаются системы уравнений вида

$$\begin{cases} \frac{\partial u_k}{\partial x} + \frac{\partial v_k}{\partial y} + \frac{\partial w_k}{\partial z} = 0, \\ \frac{\partial p_k}{\partial x} = f_x, \quad \frac{\partial p_k}{\partial y} = f_y, \\ \frac{\partial p_k}{\partial z} - \mu \Delta w_k = f_z, \\ \Delta \left(\frac{\partial u_k}{\partial y} - \frac{\partial v_k}{\partial x} \right) = \phi, \end{cases}$$

причем правые части этих уравнений содержат компоненты вектора скорости u_i, v_i, w_i ($i \leq k-1$) и их производные; на поверхности канала и в начальном сечении для искомым функций задаются нулевые условия.

Рассмотрим пример применения предложенного алгоритма уточнения решения к течению в канале с круговым поперечным сечением. В этом случае уравнения и граничные условия нулевого приближения, если поток осесимметричен, имеют вид

$$\frac{dp_0}{dz} = \mu \cdot \left(\frac{\partial^2 w_0}{\partial z^2} + \frac{1}{r} \cdot \frac{\partial w_0}{\partial r} \right), \quad (11)$$

$$\frac{\partial v_0}{\partial r} + \frac{v_0}{r} + \frac{\partial w_0}{\partial z} = 0, \quad (12)$$

$$r = R: w_0 = 0, \quad v_0 = V(z); \quad r = 0: \frac{\partial w_0}{\partial r} = 0, \quad v_0 = 0;$$

$$z = 0: p_0 = p_n, \quad \frac{1}{\pi R^2} \int_0^R 2\pi r w_0 dr = U$$

где r – радиус канала.

Из уравнений (11), (12) с учетом граничных условий находим

$$w_0 = -\frac{1}{4\mu} \frac{dp_0}{dz} (R^2 - r^2),$$

$$v_0 = \frac{1}{16\mu} \frac{d^2 p_0}{dz^2} (2R^2 r - r^3).$$

Полагая $R = r$ и используя граничные условия, находим уравнение для p_0

$$\frac{d^2 p_0}{dz^2} = \frac{16\mu}{R^3} V(z), \quad (13)$$

$$\left. \frac{dp_0}{dz} \right|_{z=0} = -\frac{8\mu U}{R^2}.$$

Тогда, вводя функцию

$$q = \int_0^z \int_0^z V(z) dz dz$$

из (13), получим

$$p_0 = p_n - \frac{8\mu}{R^3} (RUz - 2q) \quad (14)$$

и, следовательно, составляющие скорости в нулевом приближении выражаются формулами

$$w_0 = \frac{2}{R^3} (RU - 2q) \cdot (R^2 - r^2), \quad v_0 = \frac{V}{R^3} \cdot (2R^2 r - r^3).$$

Вычислим поправки первого приближения, пользуясь формулами

$$v_0 \frac{\partial w_0}{\partial r} + w_0 \frac{\partial w_0}{\partial z} = -\frac{1}{\rho} \cdot \frac{dp_1}{dz} + v \left(\frac{\partial^2 w_1}{\partial r^2} + \frac{1}{r} \frac{\partial w_1}{\partial r} \right)$$

$$\frac{\partial v_1}{\partial r} + \frac{v_1}{r} + \frac{\partial w_1}{\partial z} = 0, \quad (15)$$

с граничными условиями

$$r = R: w_1 = v_1 = 0; \quad r = 0: \frac{\partial w_1}{\partial r} = v_1 = 0;$$

$$z = 0: p_1 = 0, \quad \int_0^R r w_1 dr = 0.$$

Подставляя выражение скорости W_0 в уравнения (15) аналогично решению в нулевом приближении, получим последовательно уравнения скорости W_1 , v_1 и давления

$$\frac{d^2 p_1}{dz^2} = \frac{6\rho [V(RU - 2q)']}{R^2}.$$

Интегрирование последнего уравнения с учетом условий при $z = 0$ дает

$$p_1 = \frac{6\rho}{R^2} (RUq' - q'^2),$$

после чего, вводя значение p_1 в выражения для нахождения поправок первого приближения компонент вектора скорости и добавляя к соответствующему выражению (14) вычисленные таким образом поправки, можем для формулы первого приближения окончательно записать

$$p \approx p_n - \frac{8\mu}{R^3} (RU^2 - 2q) + \frac{6\rho}{R^2} (RUq' - q'^2).$$

Работоспособность алгоритма уточнения при получении осесимметричного решения показывает в том, что с его помощью могут быть получены и соответствующие решения пространственной задачи для случая, когда число Рейнольдса $Re \ll 1$, например, для каналов, образующая которых является прямой линией, а поперечное сечение представляет собой прямоугольник или квадрат. Для таких каналов показано, что вблизи угла форма трубок тока близка к очертаниям угла, а по мере удаления контуры все более напоминают дуги окружностей. Поэтому можно предполагать, что вблизи центра канала течение стремится к осесимметричному.

В результате анализа течения жидкости в проницаемых каналах в случае предельно низких значений характерного числа Рейнольдса показано, что кинематика движения не зависит от числа Рейнольдса, а динамика – зависит. Найдены фундаментальные решения задачи, используя метод разделения пе-

ТРЕХМЕРНЫЕ ТЕЧЕНИЯ ЖИДКИХ СРЕД В ПРОНИЦАЕМЫХ КАНАЛАХ

ременных. При этом использовались предположения о симметрии решения по переменным. В случае предельно высоких значений характерного числа Рейнольдса показано, что динамика не зависит от числа Рейнольдса. Построенные картины изолиний $W = const$ двух рассмотренных режимов течения при $(Re \rightarrow \infty)$ и $(Re \rightarrow 0)$ качественно похожи. Кроме того, если вблизи начала координат форма изолиний близка к очертаниям угла, то по мере удаления контуры продольной компоненты вектора скорости более напоминают дуги окружностей. Поэтому можно предполагать, что вблизи центра канала течение стремиться к осесимметричному. Для случая предельно низких значений характерного значения числа Рейнольдса на примере круглого канала описан алгоритм получения решения "нулевого приближения" и его последующего уточнения.

ЛИТЕРАТУРА

1. Темцев Б.Т. Техническая гидромеханика. - М.: Машиностроение, 1978. - 463 с.
2. Владимиров В.В. Уравнения математической физики. - М.: Наука, 1988. - 512 с.
3. Тихонов А.Н., Самарский А.А. Уравнения математической физики. - М.: Наука, 1977. - 736 с.
4. Седов Л.И. Механика сплошной среды. Учебник. Т.1. - М.: Наука, 1970. - 440 с.
5. Самарский А.А., Гулин А.В. Численные методы. - М.: Наука, 1989. - 432 с.
6. Berman A.S. Laminar flow in channels with porous walls // J. Appl. Phys. - 1953. - V. 24. - N 9. - P. 1232-1235.
7. Taylor C.L., Banks W.H.H., Zaturka M.B., Drazin P.G. Three-dimensional flow in a porous channel // Q. J. Mech. Appl. Math.-1991.-V. 44.- P. 105-133.
8. Регирер С.А. О приближенной теории течения вязкой несжимаемой жидкости в трубах с проницаемыми стенками // Журнал технической физики. - 1960.-Т. 30. - В. 6. - С. 639-641.